

西日本工業大学 正赤司信美
山口大学工学部 正齋藤 隆

1. はじめに

著者らはこれまで斜直噴流による洗掘過程を洗掘構の違いから三期に分けて、各期の構造をモデル化して数値的に検討してきた。最終洗掘状態は洗掘穴で砂被動があり、砂堆頂を越える浮遊砂量がなくなるところを定義されるが、この状態を数値的に求めようとする場合、砂堆頂形成過程がかなり実験的傾向と一致せねばならぬ。これまでの解析モデルは洗掘構造の大略を把握するところから砂堆頂下流斜面が安息角勾配斜面を形成することなどの形状特性を考慮せずに取り扱ってきた。

本文はこれまでの解析モデルに洗掘形状特性を導入して洗掘過程を解析し、最終洗掘深を数値的に求めようとするものである。

2. 後期洗掘形状特性

図1は後期洗掘形状の概略を示したものである。後期洗掘形状は間欠的崩落のため図1に示すような変曲点をもつことと中期形状と区別できる。

時間的に変化する洗掘形状に対する噴流中心線上の

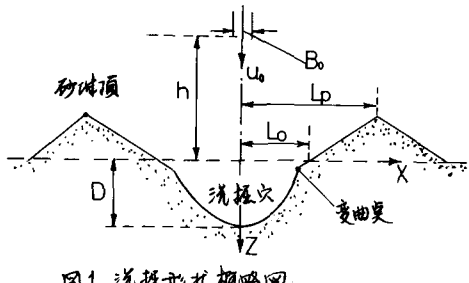


図1 洗掘形状概略図

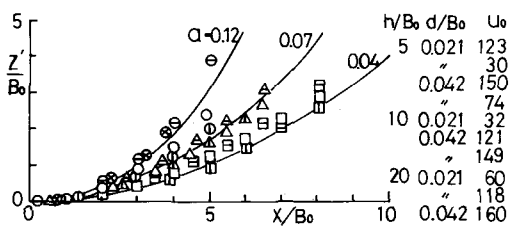


図3 洗掘穴形状

最大洗掘深位置を原点にとり、上向左にx軸にとって各時間の洗掘穴形状を示したもののが図2である。同図より一定の噴流条件のもとでは洗掘穴形状は一曲線で十分近似されることが分かる。図3は一曲線で近似されたものとまとめたものである。衝突距離が短いと洗掘穴に進入する噴流幅が狭いため洗掘穴の曲率は大きくなっている。洗掘穴形状はほぼ衝突距離によって変化すると考えて、次式で形状を近似する。

$$\frac{Z'}{B_0} = A \left(\frac{X}{B_0} \right)^2, \quad A = 0.42 \left(\frac{h}{B_0} \right)^{-0.78} \quad \dots \dots (1)$$

図3中の実線は上式を記入したものである。

3. 後期洗掘計算

後期洗掘構は砂の安息角より急な不安定斜面に作用する流体力と土圧力との不均衡によって生ずる間欠的崩落と洗掘穴からの浮遊砂搬散によって特徴づけられる。【間欠的崩落モデル】：図4。て+Δt時刻での不安定斜面をもつ過渡的洗掘形状bcgfkに対して後期洗掘穴形状を(1)式(a c d f g)を決定する。この斜面に働く流れの変向による流体力Fと土圧力Pとが等しくなるときを定める。て+Δt時刻の平均洗掘形状は最大洗掘深の位置を逐次近似的に変えながら力のつり合いの更正を定め、洗掘量(a-b-c)と崩落砂量(c-d-e-f-g)とを一致させることによって求めることができる。【浮遊砂搬散モデル】：洗掘穴からふき上げられる流砂量を零、ふき上げ奥から距離S

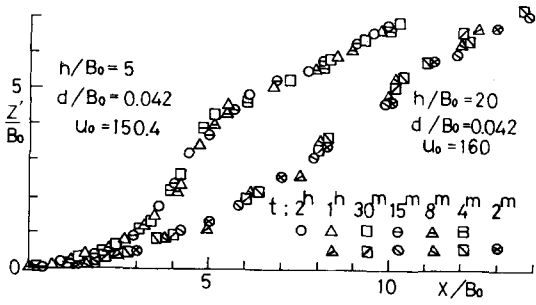


図2 洗掘穴形状

この浮遊砂量 ψ_s を基にして無次元砂量の場所的変化 $\frac{\partial \psi}{\partial z} = \psi_s \cdot \frac{\partial (\psi_s / \psi)}{\partial z}$ を河床変動の基礎式に導入することと、ふた上り下流の河床変動量を求める。このようにして求められる $t + \Delta t$ 時刻の過渡的な形状は図5のように砂時頂下流域勾配を安息角勾配より急くなる。砂時頂を越えて通過した砂量は砂時頂直下流域へ現降し、砂時頂下流域は安息角斜面となることを考慮して図6示すように通過砂量 ($a b c d e f g$) が安息角斜面持積量 ($g b c d g$) と一致するよう砂時頂下流域斜面を修正する。この時刻の平均形状はこの過渡的な形状に対する前の崩落モデルを用いて求めることとする。

4. 流域計算結果

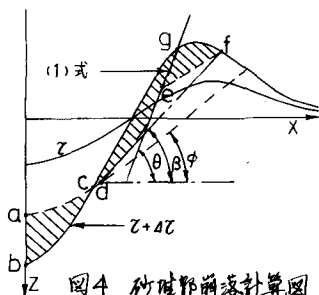


図4 砂時頂崩落計算図

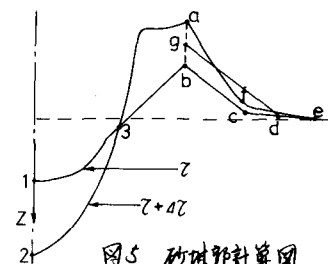


図5 砂時頂計算図

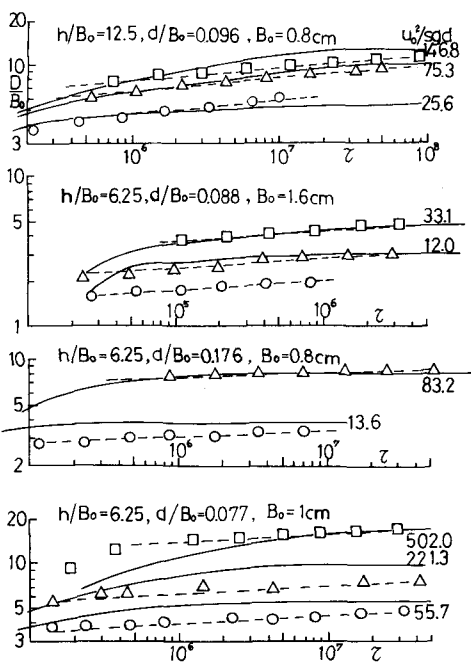


図7 最大沈没深の時間的变化；計算結果

図6に計算結果を示した。図中の○印は実験時間 t 時間 Δt の流域形状を示したものである。流域形状は実験形状を導入し、砂時頂下流域斜面に安息角斜面を形成せられたが、弯曲点の位置及び砂時頂の位置の時間的挙動状況は非常によく実験の傾向と一緒にしている。図7は最大沈没深の計算結果を示したもので、実験値と計算値はよく一致している。他の釣り合の条件及び砂時頂を通過する砂量を適切に評価することができたと考える。図8は図6の砂時頂を通過する砂量 ($g b c d g$) が過渡的な流域 ($1, 2, 3$ 部分) の 0.1% を下回るとときをもとで最終流域状態の判定を行なう結果を示すものである。図中の記号は実験時間 t 時間のときの最大沈没深を示している。これらの値はほぼ最終流域に近い値となる。

5. おわりに

流域過程解析モデルに砂時頂上下流域の斜面勾配付安息角勾配を量すること及び流域形状は二次曲線形状を量することの二重の形状特性を導入して流域過程を解析した。得られた計算結果はかなり実験結果と一致し、最終流域の予測が可能となる。

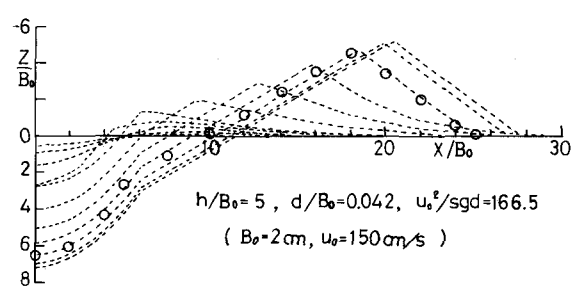


図6 流域形状計算結果

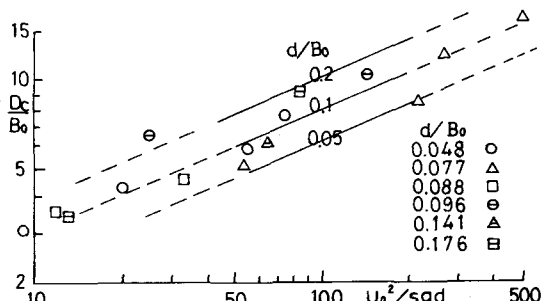


図8 最終流域計算結果